

JAERI-M

87-034

群分離法の開発：テクネチウムの  
回収法—その1

1987年3月

山口 五十夫・久保田 益充

日本原子力研究所  
Japan Atomic Energy Research Institute

JAERI-M レポートは、日本原子力研究所が不定期に公刊している研究報告書です。  
入手の問合せは、日本原子力研究所技術情報部情報資料課（〒319-11 茨城県那珂郡東海村）  
あて、お申しこしください。なお、このほかに財団法人原子力弘済会資料センター（〒319-11 茨城  
県那珂郡東海村日本原子力研究所内）で複写による実費頒布をおこなっております。

JAERI-M reports are issued irregularly.

Inquiries about availability of the reports should be addressed to Information Division, Department  
of Technical Information, Japan Atomic Energy Research Institute, Tokai-mura, Naka-gun,  
Ibaraki-ken 319-11, Japan.

© Japan Atomic Energy Research Institute, 1987

---

編集兼発行 日本原子力研究所  
印 刷 山田軽印刷所

群分離法の開発：テクネチウムの回収法—その1

日本原子力研究所東海研究所環境安全研究部

山口五十夫・久保田益充

(1987年2月5日受理)

高レベル再処理廃液 (HLW)中に含まれる放射性核種を、半減期や放射能毒性に応じて分離（群分離）し、安全な形で処分するという考え方のもとに群分離法の開発を進めている。ここでは高レベル廃棄物の地層処分に伴う環境影響評価の面から群分離の対象とすべき重要な核種のひとつとなっている<sup>99</sup>Tcについて、これまでに開発してきた群分離プロセスでの挙動を<sup>95m</sup>Tcを含む模擬再処理廃液を使用して調べ、HLWから<sup>99</sup>Tcを回収する方法を検討した。

群分離従来法プロセスでの挙動試験の結果、Tcは tributylphosphate (TBP)によるU, Puの抽出工程、di-isodecyl phosphoric acid (DIDPA)によるAm, Cm, 希土類元素の抽出工程においてほとんど抽出されず、ギ酸による脱硝工程において他の金属イオンと共に沈する現象を示した。このため脱硝工程におけるTcの挙動を詳しく調べた。

白金族元素を  $5 \times 10^{-3}$  M以上含むHLWに、硝酸に対してモル比1.8以上のギ酸を添加して脱硝すれば、98%以上のTcを沈殿として回収できることがわかった。またHLWから沈殿として回収したTcは過酸化水素水を用いて90%以上水相に溶出させることができた。このプロセスを群分離フローの無機イオン交換体によるCs, Srの吸着分離の前に組み入れることによって、群分離従来法プロセスを大きく変更することなく、TcをHLWから回収できる見通しを得た。

Development of Partitioning Method:  
A Method of Recovering Technetium-Part 1

Isoo YAMAGUCHI and Masumitsu KUBOTA

Department of Environmental Safety Research

Tokai Research Establishment,

Japan Atomic Energy Research Institute

Tokai-mura, Naka-gun, Ibaraki-ken

(Received February 5, 1987)

A partitioning method has been developed under concepts of separating radioactive nuclides from a high-level liquid waste (HLW) according to their half-lives and radioactive toxicity, and of disposing the waste safely. Chemical behavior of  $^{99}\text{Tc}$  in the partitioning process, which has been developed already in our laboratory, and a chemical method recovering it from HLW were studied with a synthetic HLW containing  $^{95\text{m}}\text{Tc}$  because  $^{99}\text{Tc}$  was estimated to be one of the main nuclides to be partitioned from HLW through the assessment in terms of reducing environmental effects in the geologic disposal of a solidified HLW.

Experimental results for chemical behavior of Tc in the partitioning process showed that it was hardly extracted in the solvent extraction processes of separating U and Pu with tributyl phosphate (TBP) and Am, Cm and rare earths with di-isodecyl phosphoric acid (DIDPA) and was co-precipitated along with other metal ions in the denitration process with formic acid. Therefore, Tc behavior in the denitration process was studied in detail.

Over 98% of Tc was found to be recoverable as precipitate if HLW containing over  $5 \times 10^{-3}$  M of platinum group elements was denitrated with formic acid of which concentration in the solution became over 1.8 times that of nitric acid.

Over 90% of Tc, which was recovered as precipitate from the synthetic HLW, was able to be dissolved with hydrogen peroxide. Adoption of this

denitration and dissolution process prior to adsorptions of Cs and Sr on inorganic ion exchangers will offer a promising prospect of recovering Tc from HLW without no serious modification in the partitioning process.

Keywords: Partitioning, Technetium, High-level Liquid Waste Denitration, Precipitation, Dissolution

## 目 次

1. 序 論.....	1
2. 実 験.....	1
2.1 試 薬.....	1
2.2 試料溶液の調製.....	2
2.3 装置および測定法.....	2
2.4 群分離プロセスにおけるテクネチウムの挙動.....	2
2.5 脱硝及び中和時におけるテクネチウムの共沈挙動.....	3
2.5.1 予備試験（中和法と脱硝法）.....	3
2.5.2 金属イオンの影響.....	4
2.5.3 Rh, Pd および Mo, Zr イオン濃度の影響.....	4
2.5.4 白金族元素の種類および濃度の影響.....	4
2.5.5 連続脱硝操作でのテクネチウムの挙動.....	5
2.6 沈殿からのテクネチウム回収.....	5
2.6.1 予備試験（溶出試薬の選定）.....	5
2.6.2 硝酸によるテクネチウムの溶出.....	6
2.6.3 過酸化水素水によるテクネチウムの溶出.....	6
2.6.4 過酸化水素水による繰返し溶出.....	6
2.6.5 溶出液中の白金族元素量.....	6
3. 結果と考察.....	7
3.1 群分離プロセスにおけるテクネチウムの挙動.....	7
3.2 脱硝及び中和時におけるテクネチウムの共沈挙動.....	7
3.3 金属イオンの影響.....	8
3.4 Rh, Pd および Mo, Zr イオン濃度の影響.....	8
3.5 白金族元素の種類および濃度の影響.....	9
3.6 連続脱硝操作でのテクネチウムの挙動.....	9
3.7 沈殿からのテクネチウムの回収.....	10
3.7.1 溶出試薬の選定.....	10
3.7.2 硝酸によるテクネチウムの溶出.....	10
3.7.3 過酸化水素水によるテクネチウムの溶出.....	10
3.7.4 過酸化水素水による繰返し溶出.....	11
3.7.5 溶出液中の白金族元素量.....	11
4. 結 論.....	11
文 献.....	12

## Contents

1. Introduction .....	1
2. Experimental.....	1
2.1 Reagent .....	1
2.2 Preparation of sample solution .....	2
2.3 Apparatus and measurement .....	2
2.4 Behavior of Tc in partitioning process .....	2
2.5 Co-precipitation behavior of Tc during denitration and neutralization .....	3
2.5.1 Preliminary test (neutralization and denitration) .....	3
2.5.2 Effects of metal ions .....	4
2.5.3 Effects of Rh,Pd and Mo,Zr ions .....	4
2.5.4 Effects of elemental species and concentrations of platinum group metals .....	4
2.5.5 Behavior of Tc in sequential denitration .....	5
2.6 Recovering of Tc from precipitate .....	5
2.6.1 Preliminary test (selection of dissolving reagents) .....	5
2.6.2 Dissolving of Tc with nitric acid .....	6
2.6.3 Dissolving of Tc with hydrogen peroxide .....	6
2.6.4 Repeated dissolving of Tc with hydrogen peroxide .....	6
2.6.5 Amount of platinum group element dissolved in the solution .....	6
3. Results and discussion .....	7
3.1 Behavior of Tc in partitioning process .....	7
3.2 Co-precipitation behavior of Tc during denitration and neutralization .....	7

3.3 Effects of metal ions .....	8
3.4 Effect of concentrations of Rh,Pd and Mo,Zr ions .....	8
3.5 Effects of elemental species and concentrations of platinum group metals .....	9
3.6 Behavior of Tc in sequential denitration .....	9
3.7 Recovering of Tc from precipitate .....	10
3.7.1 Selection of dissolving reagents .....	10
3.7.2 Dissolving of Tc with nitric acid .....	10
3.7.3 Dissolving of Tc with hydrogen peroxide .....	10
3.7.4 Repeated dissolving of Tc with hydrogen peroxide .....	11
3.7.5 Amount of platinum group elements dissolved in the solution .....	11
4. Conclusion .....	11
References .....	12

## 1. 序 論

核燃料の再処理に伴って発生する HLW 中に含まれる放射性核種を半減期や放射能毒性に応じて、超ウラン元素群、Sr-Cs 群及びその他の元素群に分離（群分離）し、より安全な形で処分しようという考え方のもとに群分離法の開発を進めてきた<sup>1)</sup>。群分離プロセスの実廃液試験として、1982年には動燃再処理実廃液約23 Ci<sup>2)</sup>、ついで1983年には220 Ci<sup>3)</sup>を使用した群分離試験を実施し、目標とする核種について高い分離度が得られることを確認した。

これまでに開発してきた群分離プロセス（群分離従来法プロセス）では Tc の分離についての考慮は特に払われていないが、1985年以降における群分離プロセスの開発では高レベル廃棄物の地層処分に伴なう環境影響評価の面から<sup>237</sup>Npと共に<sup>99</sup>Tc は群分離の対象とすべき重要な核種のひとつとして検討することとなった<sup>4)</sup>。初めに<sup>95m</sup>Tc を含む模擬再処理廃液を使用して群分離従来法プロセスでの Tc の挙動を調べた。ついで、脱硝および中和時における Tc の挙動を詳しく調べ、その挙動から HLW 中の<sup>99</sup>Tc を回収する方法を検討した。

## 2. 実 験

### 2.1 試 薬

#### 〔TBP 抽出剤〕

関東化学株式会社製 tri-n-butyl phosphate (TBP) 300 ml を日本鉱業株式会社製 n-paraffine hydrocarbon (NPH) で 1 ℥ に希釈し 30% TBP 溶液として使用した。（以下 TBP 抽出剤と記す）

#### 〔DIDPA 抽出剤〕

大八化学工業所製 di-isodecyl phosphoric acid (DIDPA) 209 ml、関東化学株式会社製 TBP 28.1 ml を日本鉱業株式会社製 NPH で 1 ℥ に希釈し 0.5 M DIDPA - 0.1 M TBP 溶液として使用した。（以下 DIDPA 抽出剤と記す）

#### 〔キ酸〕

和光純薬工業製 HCOOH (試薬特級) を NaOH 水溶液で中和滴定し、酸濃度を求めて使用した。

#### 〔硝酸〕

小宗化学薬品製 HNO<sub>3</sub> (試薬特級) を蒸留水で希釈したのち、NaOH 水溶液で中和滴定し、酸濃度を求めて使用した。

#### 〔<sup>95m</sup>Tc 溶液〕

日本アイソトープ協会より入手した<sup>95m</sup>Tc (過テクネチウム酸ナトリウム pH 4.0 水溶液) を蒸

## 1. 序 論

核燃料の再処理に伴って発生するHLW中に含まれる放射性核種を半減期や放射能毒性に応じて、超ウラン元素群、Sr-Cs群及びその他の元素群に分離（群分離）し、より安全な形で処分しようという考え方のもとに群分離法の開発を進めてきた<sup>1)</sup>。群分離プロセスの実廃液試験として、1982年には動燃再処理実廃液約23Ci<sup>2)</sup>、ついで1983年には220 Ci<sup>3)</sup>を使用した群分離試験を実施し、目標とする核種について高い分離度が得られることを確認した。

これまでに開発してきた群分離プロセス（群分離従来法プロセス）ではTcの分離についての考慮は特に払われていないが、1985年以降における群分離プロセスの開発では高レベル廃棄物の地層処分に伴なう環境影響評価の面から<sup>237</sup>Npと共に<sup>99</sup>Tcは群分離の対象とすべき重要な核種のひとつとして検討することとなった<sup>4)</sup>。初めに<sup>95m</sup>Tcを含む模擬再処理廃液を使用して群分離従来法プロセスでのTcの挙動を調べた。ついで、脱硝および中和時におけるTcの挙動を詳しく調べ、その挙動からHLW中の<sup>99</sup>Tcを回収する方法を検討した。

## 2. 実 験

### 2.1 試 薬

#### 〔TBP抽出剤〕

関東化学株式会社製 tri-n-butyl phosphate (TBP) 300mℓを日本鉱業株式会社製 n-paraffine hydrocarbon (NPH) で1ℓに希釈し30% TBP溶液として使用した。（以下TBP抽出剤と記す）

#### 〔DIDPA抽出剤〕

大八化学工業所製 di-isodecyl phosphoric acid (DIDPA) 209mℓ、関東化学株式会社製TBP 28.1mℓを日本鉱業株式会社製NPHで1ℓに希釈し0.5 MDIDPA - 0.1 M TBP溶液として使用した。（以下DIDPA抽出剤と記す）

#### 〔キ酸〕

和光純薬工業製HCOOH（試薬特級）をNaOH水溶液で中和滴定し、酸濃度を求めて使用した。

#### 〔硝酸〕

小宗化学薬品製HNO<sub>3</sub>（試薬特級）を蒸留水で希釈したのち、NaOH水溶液で中和滴定し、酸濃度を求めて使用した。

#### 〔<sup>95m</sup>Tc溶液〕

日本アイソトープ協会より入手した<sup>95m</sup>Tc（過テクネチウム酸ナトリウムpH 4.0水溶液）を蒸

留水で希釈したのち、化学形を同定して使用した。

[その他の試薬]

その他の試薬はすべて試薬特級を使用した。

## 2.2 試料溶液の調製

[模擬再処理廃液]

模擬再処理廃液の組成を Table 1 に示す。

模擬再処理廃液調製に当り、再処理廃液中に含まれるイオンのうち含有量が低いと推定される  $\text{Al}^{3+}$ ,  $\text{UO}_2^{2+}$ ,  $\text{PO}_4^{3-}$  および  $\text{SiO}_3^{2-}$  は群分離フローでの Tc の挙動に特に影響しないものと考え、また硝酸塩が市販されていない Ru は添加しなかった。希土類元素は La で代表した。添加する塩の化学形のほとんどは硝酸塩を使用したが、Mo は  $(\text{NH}_4)_6\text{Mo}_7\text{O}_{24}$ , Te は  $\text{H}_6\text{TeO}_6$  の化学形で添加した。この様に調製した溶液に  $^{95}\text{mTc}$  を  $\text{NaTcO}_4$  の化学形 (pH 4.0 水溶液) でトレーサー量添加した。

[簡略模擬再処理廃液]

実験の系を単純化するため特定の金属イオンのみを添加し、その金属イオンが Table 1 に示す濃度となるような溶液を調製した。たとえば Mo, Zr の組合せ溶液の調製には 2M  $\text{HNO}_3$  に Mo 0.069M, Zr 0.069M となる様添加し調製した。この溶液に  $^{95}\text{mTc}$  を  $\text{NaTcO}_4$  の化学形でトレーサー量添加し実験に供した。

## 2.3 装置および測定法

[抽出試験]

円錐型 100 mL 分液ロートに被抽出液と等容量の抽出剤を添加し、室温において20分間振とうした。5分間静置後、有機相と水相をコック操作で分離し、ついで遠心分離器を用いて各相に混入する有機相あるいは水相をさらに分離した。水相および有機相より各 1 mL をポリエチレン試料瓶に分取し、試料瓶中の放射能量を NaI (Tl) シンチレーション検出器を備えた波高分析器で測定した。

[脱硝試験]

球管冷却器を取付けた 100 mL 還流フラスコに試験溶液と HCOOH を添加したのち、4時間加熱還流した。室温まで放冷後、発生した沈殿と溶液を遠心分離器に移し、15分間遠心分離操作を施した。上ずみ液の液量を計測したのち、この溶液より 1 mL をポリエチレン試料瓶に分取した。試料瓶中の放射能量は抽出試験の場合と同様にして求めた。沈殿に移った放射能量は脱硝前試験溶液放射能より脱硝後溶液放射能量を差し引いて求めた。

## 2.4 群分離プロセスにおけるテクネチウムの挙動

これまでに開発してきた群分離フローの概略を Fig.1 に示す。主な特徴は次のようである。

- イ) UとPuをTBPで抽出する。
- ロ) 超プルトニウム元素の抽出に先がけてTBP raffinateを脱硝し、ZrとMoを沈殿として除去する。
- ハ) 超プルトニウム元素と希土類元素(RE)はpH 0.5に調整した溶液からDIDPA-TBPで抽出する。
- ニ) 超プルトニウム元素とREは加圧型陽イオン交換体カラムで分離する。
- ホ)  $^{90}\text{Sr}$ と $^{137}\text{Cs}$ は無機イオン交換体カラムに吸着し分離する。

上記に示す工程に従いTcの挙動試験を実施した。

#### 1) TBP抽出工程

模擬再処理廃液40mℓにTBP抽出剤を同量添加し、抽出試験を行った。水相および有機相中の放射能量を測定し分配比を求めた。その後有機相に抽出されたTcの0.01M HNO<sub>3</sub>による逆抽出試験も同様の方法で実施し分配比を求めた。

#### 2) 脱硝工程

TBP raffinateのHNO<sub>3</sub>濃度を中和滴定で求めたのち、TBP raffinate 35mℓにHNO<sub>3</sub>量の1.5倍当量に相当するHCOOHを添加した。この溶液について脱硝試験を実施した。溶液より沈殿を分離したのち、上ずみ液の放射能量を測定しTcの沈殿率を求めた。同時に上ずみ液のHNO<sub>3</sub>濃度およびpHを測定した。

#### 3) DIDPA抽出工程

脱硝試験後沈殿を分離した上ずみ溶液30mℓにDIDPA抽出剤を同量添加し、抽出試験を行った。その後有機相に抽出されたTcの4.0M HNO<sub>3</sub>による逆抽出試験も実施した。

#### 4) 陽イオン交換体分離工程

TcはDIDPA抽出工程においてほとんど抽出されず、陽イオン交換体分離工程に移行しない事からTcの挙動試験を実施しなかった。

#### 5) 無機イオン交換体分離前処理工程

無機イオン交換体カラムによって $^{90}\text{Sr}$ ,  $^{137}\text{Cs}$ を吸着分離する最適pH値<sup>5)</sup>は3以上であり、中和や脱硝法で溶液のpH値を調整する。これらの操作におけるTcの挙動試験内容を2.5章以降で詳述する。

#### 6) 無機イオン交換体分離工程

Tcは無機イオン交換体分離前処理工程の脱硝操作でほとんど沈殿分離され、無機イオン交換体分離工程に移行しない事からTcの挙動試験を実施しなかった。

## 2.5 脱硝及び中和時におけるテクネチウムの共沈挙動

Tcを含む種々の溶液について中和や脱硝操作でのTcの沈殿挙動試験を実施した。

### 2.5.1 予備試験(中和法と脱硝法)

無機イオン交換体による $^{90}\text{Sr}$ - $^{137}\text{Cs}$ の吸着分離の前処理操作である中和や脱硝工程でのTcの挙動を調べた。

## 〔中和法〕

Fe, Cr, Ni, Sr, Cs および Ba を含む簡略模擬再処理廃液 20mℓ および模擬再処理廃液 20mℓ に各々 4 M NaOH を添加し pH 5 以上とした。発生した沈殿を東洋 3 紙 No. 5 C で分離し、ろ液の液量を計測すると共にこの溶液より 1mℓ をポリエチレン試料瓶に分取した。試料瓶中の放射能量は〔抽出試験〕と同様の測定を実施し、沈殿に移った放射能量は〔脱硝試験〕と同様の方法で求めた。

## 〔脱硝法〕

中和法と同様の 2 種類の試料溶液について、各々の溶液に含まれる HNO<sub>3</sub> 量の 1.5 及び 2.0 倍当量の HCOOH を添加し脱硝試験を行った。発生した沈殿を分離したのち、中和法と同様の方法で Tc の沈殿率を求めた。

## 2.5.2 金属イオンの影響

脱硝操作によってどの様な金属イオンが Tc の沈殿率を上昇させるのかを詳しく調べた。

以下に示す組合せの簡略模擬再処理廃液 20mℓ 毎に、各々の溶液に含まれる HNO<sub>3</sub> 量に対して加える HCOOH の量を変化させて添加し脱硝試験を実施した。

- 1) Fe, Cr, Ni, Cs, Sr, Ba
- 2) Mo, Zr
- 3) Mo, Zr, Te
- 4) Rh, Pd
- 5) Rh, Pd, Mo, Zr

一方模擬再処理廃液についても上記と同様、模擬再処理廃液 20mℓ 每に加える HCOOH の量を変化させて添加し脱硝試験を実施した。沈殿を分離し、上ずみの液量と pH を計測すると共に Tc の沈殿率を求めた。

## 2.5.3 Rh, Pd および Mo, Zr イオン濃度の影響

溶液中の Rh, Pd や Mo, Zr イオンの濃度をそれぞれ変化させて Tc の沈殿率を調べた。

以下に示す組合せの 2M HNO<sub>3</sub> 溶液 20mℓ に各々の溶液に含まれる HNO<sub>3</sub> 量の 2.0 倍当量の HCOOH を添加して脱硝試験を実施した。

- 1) Rh, Pd, Mo, Zr の組合せ簡略模擬再処理廃液のイオン濃度を 100% とし、そのイオン濃度を 0, 20, 40, 60, 80 および 100% とした溶液
- 2) 上記の簡略模擬再処理廃液のうち Rh, Pd イオン濃度を 100% とし、Mo, Zr のイオン濃度のみ 0, 20, 40, 60, 80 および 100% とした溶液
- 3) 上記の簡略模擬再処理廃液のうち Mo, Zr イオン濃度を 100% とし、Rh, Pd のイオン濃度のみ 0, 20, 40, 60, 80 および 100% とした溶液

## 2.5.4 白金族元素の種類および濃度の影響

白金族元素のうちいずれの元素が Tc の沈殿率上昇に寄与するかを調べた。

以下に示す組合せの 2M HNO<sub>3</sub> 溶液 20mℓ に各々の溶液に含まれる HNO<sub>3</sub> 量の 2.0 倍当量の

HCOOHを添加して脱硝試験を実施した。

- 1) Mo, Zr を含む簡略模擬再処理廃液に Rh イオンの濃度が 0, 4 および 8 mMとなる様添加した溶液
- 2) Mo, Zr を含む簡略模擬再処理廃液に Pd イオンの濃度が 0, 3.6, 10 および 18 mMとなるよう添加した溶液

#### 2.5.5 連続脱硝操作でのテクネチウムの挙動

群分離プロセスでは D I DPA 抽出工程の前処理として溶液中に含まれる  $\text{NO}_3^-$  量の 1.5 倍当量の HCOOH を HLW に添加して脱硝し、D I DPA 抽出工程を経た後、再び D I DPA raffinate フラクションに含まれる  $\text{NO}_3^-$  量の 2 倍当量の HCOOH を添加して脱硝する。その後中和操作を加え、pH 値を 5 以上とする。すなわち Tc を含む HLW は群分離工程において 2 回の脱硝工程を経た後、中和されることになる。この様な一連の脱硝、中和操作において Tc がどの様に挙動するかを調べた。

模擬再処理廃液 20 mL, Zr および Mo を含む簡略模擬再処理廃液 20 mL および Zr, Mo, Rh および Pd を含む簡略模擬再処理廃液 20 mL に各々含まれる  $\text{NO}_3^-$  量の 1.5 倍当量の HCOOH を添加して脱硝（一次脱硝）した。沈殿を分離し Tc の沈殿率を求めた。その後中和滴定で一次脱硝後溶液の  $\text{NO}_3^-$  濃度を求め、含まれる  $\text{NO}_3^-$  量の 2.0 倍当量の HCOOH を一次脱硝後溶液に添加して脱硝（二次脱硝）した。沈殿を分離し再び Tc の沈殿率を求めた。ついで二次脱硝後溶液の pH を測定した後、1 M NaOH を添加し pH 5 以上とした。発生した沈殿をろ過法で分離し、Tc の沈殿率を求めた。

#### 2.6 沈殿からのテクネチウム回収

沈殿生成物から Tc を溶出し、他の元素から分離回収する方法を検討した。なお溶出試験に用いた沈殿生成物は、模擬再処理廃液 20 mL に含まれる  $\text{NO}_3^-$  量の 2.0 倍当量の HCOOH を添加して脱硝することによって得られる沈殿をろ別した後、20 mL の蒸留水で 2 回洗浄したものである。沈殿の重量はろ紙上のスラッジをそのまま秤量し湿潤状態のろ紙重量を差し引き求めた。溶出試験終了後、溶出液と沈殿を分離し溶出液の液量を計測すると共にこの溶液 1 mL をポリエチレン試料瓶に分取した。試料瓶中の放射能量を測定し Tc の溶出率を求めた。

##### 2.6.1 予備試験（溶出試薬の選定）

Tc 溶解反応には酸化反応が大きく寄与していると考えられる。そのため酸化剤である  $\text{O}_2$ ,  $\text{O}_3$ ,  $\text{H}_2\text{O}_2$  水溶液および  $\text{HNO}_3$  について検討した。またアルカリ性溶液で空気の存在により酸化されると考えられるため、NaOH 水溶液、 $\text{NH}_4\text{OH}$  水溶液についても検討した。

- 1)  $\text{O}_2$  ガスについて：沈殿を 2.3 章で示した脱硝試験装置に移し、 $\text{H}_2\text{O}$  20 mL を添加した。  
加熱還流しながら  $\text{O}_2$  ガスを 200 mL/min の流速で液中に 2 時間ふき込んだ。
- 2)  $\text{O}_3$  ガスについて：試験法は  $\text{O}_2$  ガスと同じである。 $\text{O}_3$  ガスの発生は  $\text{O}_2$  気流中に感応コイルで無声放電を行い 5 ~ 6 % 含有量の  $\text{O}_3$  ガスを得た。

- 3)  $H_2O_2$ について：沈殿を脱硝試験装置に移し，10mℓの $H_2O$ を添加した。加熱還流しながら31% $H_2O_2$ 10mℓを1mℓ/minの速度で添加し，その後2時間加熱還流した。
- 4)  $HNO_3$ について：沈殿を2M  $HNO_3$ と共に脱硝試験装置に移し，2時間加熱還流した。
- 5)  $NaOH$ について：沈殿を1M  $NaOH$ と共に栓付きフラスコに移し，一昼夜放置した。
- 6)  $NH_4OH$ について：沈殿を1M  $NH_4OH$ と共に栓付きフラスコに移し，一昼夜放置した。

#### 2.6.2 硝酸によるテクネチウムの溶出

$HNO_3$ を用いてTcを溶出する場合の $HNO_3$ 濃度依存性を調べるために示す実験を実施した。

沈殿3gを脱硝試験装置に移し，0, 1.0, 2.0, 4.0および6.0Mの $HNO_3$ 20mℓを各々の沈殿に添加した。一昼夜放置してTcの溶出率を測定した。その後沈殿より分離した溶出液を沈殿にもどして，2時間加熱還流した。室温まで放冷後再びTcの溶出率を測定した。

#### 2.6.3 過酸化水素水によるテクネチウムの溶出

$H_2O_2$ を用いてTcを溶出する場合の $H_2O_2$ 濃度依存性を調べるために示す実験を実施した。

##### 1) 沈殿重量当りの溶出液容量

沈殿1g当り15.5% $H_2O_2$ を6.6, 7.9, 16.5, 21.7, 29.0, 30.1および49.6mℓ添加し，一昼夜放置した。

##### 2) $H_2O_2$ の濃度

0, 7.75, 15.5, 23.3および31.0%の $H_2O_2$ を沈殿1g当り29.0mℓ添加し，一昼夜放置した。

#### 2.6.4 過酸化水素水による繰返し溶出

同一の溶出操作を繰返す事によって溶出率を上昇させる事ができるかどうかを調べるために以下の実験を実施した。

沈殿1g当り15.5% $H_2O_2$ を6.6mℓ添加して2時間放置した。沈殿と溶出液を分離し溶出液を取り除いた。残留する沈殿に再び15.5% $H_2O_2$ を6.6mℓ添加し1時間放置した。これらの操作を4回繰返し，沈殿に残留するTcの量を測定した。

#### 2.6.5 溶出液中の白金族元素量

$H_2O_2$ を溶出試薬として用いた溶出液中の白金族元素量を原子吸光法で求めた。その他の元素については炎光分析法を用いて定量した。

### 3. 結果と考察

#### 3.1 群分離プロセスにおけるテクネチウムの挙動

HLW中にTcが100%存在しているとして、群分離工程の各ステップでTcがどの様に分布するかを百分率で求めた結果をFig. 2に示す。最初のステップではU, PuをTBPで抽出する。バッチ法で求めたTBPに対するTcの分配比は0.4であった。実際にU, Puを抽出する工程では、7段の抽出槽および4段の洗浄槽を備えた多段向流抽出器（ミキサーセトラ）を用いて連続的に抽出を行う。このためバッチ法で求めた分配比を使用して、向流接触抽出計算<sup>6)</sup>（各バンクで分配比が常に一定であるという仮定をおく）を行い、ミキサーセトラ運転でのTcの抽出割合を求めた。その結果、Tcはほとんど抽出されず97%がTBP raffinate フラクションに移る事がわかった。TBPに抽出されたU, Puは0.01M HNO<sub>3</sub>で逆抽出する。この時のTcの分配比は1.2であった。逆抽出操作も抽出操作と同じく5段の多段向流抽出器を用いる事から抽出と同様の計算を行い、Tcの逆抽出割合を求めた。その結果、U, Pu フラクションに1.2%, 有機相中に1.8%移行する事がわかった。

97%のTcを含むTBP raffinateをDIDPA抽出に先がけて脱硝しZrとMoを沈殿として除去する。この時のTcの沈殿率は約10%であり、ろ液（DIDPA抽出工程のフィード液）には全体の87.3%が移る。この溶液から超プルトニウム元素と希土類元素（RE）をDIDPAで抽出する。バッチ法で求めたDIDPAに対するTcの分配比は0.1であった。また抽出後の超プルトニウム元素やREは4.0M HNO<sub>3</sub>によって逆抽出するが、この時のTcの分配比は0.28であった。TBP抽出工程と同じくミキサーセトラを用いて連続的に抽出を行う事から、これらの値より向流接触抽出計算を実施し、ミキサーセトラ運転でのTc分布割合を求めた。その結果、Tcはほとんど抽出されず87%がDIDPA raffinate フラクションに移り、また超プルトニウム元素およびRE フラクションに0.24%，有機相中に0.06%移行する事がわかった。

以上の結果よりTcは脱硝工程で比較的良く沈殿する事、およびTBPやDIDPAによる抽出工程でほとんど抽出されず、DIDPA抽出の raffinate フラクションに移行することがわかった。

#### 3.2 脱硝及び中和時におけるテクネチウムの共沈挙動

無機イオン交換体で<sup>90</sup>Srや<sup>137</sup>Csを吸着分離する前処理としてNaOHによる中和やHCOOHによる脱硝法によって溶液の液性をpH領域にする。これらの操作によってTcがどの程度他の金属イオンと沈殿するか予備試験した。結果をTable 2に示す。

中和法ではFe, Cr, Ni, Sr, CsおよびBaを含む簡略模擬再処理廃液で12%, 模擬再処理廃液で10%が他の金属イオンと共に沈殿した。

脱硝法においては簡略模擬再処理廃液の場合、HNO<sub>3</sub>に対するHCOOHのモル比がいずれの場合でも沈殿率10%以下であるが、模擬再処理廃液の場合、HNO<sub>3</sub>に対するHCOOHのモル比を

2.0 にすると Tc は他の金属イオンと共に 99.9 %以上沈殿した。

### 3.3 金属イオンの影響

どの様な金属イオンが脱硝時における Tc の沈殿率を上昇させるかを調べた。種々の金属イオンの組合せを変えた簡略模擬再処理廃液および模擬再処理廃液を HCOOH で脱硝した時の Tc の沈殿率を Fig. 3 および 4 に示した。なお脱硝後の溶液 pH と Tc の沈殿率の関係も併記した。横軸に  $\text{HNO}_3$  に対する HCOOH のモル比および脱硝後の pH 値を、縦軸に Tc の沈殿率を示した。

Fe, Cr, Ni, Sr, Cs および Ba の組合せ溶液での Tc の沈殿率は HCOOH 添加量に無関係で 10 %以下であり、また脱硝後の溶液 pH 値は 1.5 以下であった。

Mo, Zr の組合せ溶液では  $\text{HNO}_3$  に対する HCOOH のモル比が上昇するに従い、Tc の沈殿率は除々に上昇し、モル比 2.4 で 40 %になった。Mo, Zr はモル比 1.5 で 100 %近く沈殿する元素であるが、Tc はこの様な高い沈殿率を示さなかった。脱硝後の溶液 pH 値と沈殿率は比例関係にあるが最高 pH 値は 1.0 以上にならない。

Mo, Zr の組合せ溶液にさらに Te を加えると Mo, Zr の沈殿率はさらに増加するが、この場合には Tc の沈殿率が低下した。なお最高 pH 値は 1.1 以上にならなかった。

白金族元素である Rh, Pd の組合せ溶液では  $\text{HNO}_3$  に対する HCOOH のモル比 1.6 から 1.8 の間で Tc の沈殿率が急激に上昇した。白金族元素を含む溶液を HCOOH で脱硝すると 1.8 以上のモル比で白金族元素は 100 %沈殿するが、Tc の場合 90 %程度である。脱硝後の溶液 pH 値が 1.25 以上となると Tc の沈殿率は急激に上昇する。Rh や Pd を含む  $\text{HNO}_3$  溶液を HCOOH で脱硝すると Rh は pH 1.1 以上、Pd は pH 1.4 以上で金属状態まで還元され、100 %沈殿する事から Tc もこれらの金属イオンと同じ挙動を取り、 $\text{TcO}_2$  あるいは Tc 金属まで還元され沈殿すると考えられる。

Rh, Pd, Mo, Zr の組合せ溶液では Rh, Pd 組合せ溶液と同じく  $\text{HNO}_3$  に対する HCOOH のモル比が 1.6 から 1.8 の間で Tc の沈殿率が急激に上昇する。HCOOH のモル比を 2.0 にするとさらに Tc の沈殿率は上昇し 98 %になった。脱硝後の pH に対する Tc の沈殿率は Mo, Zr 組合せ溶液の場合と Rh, Pd 組合せ溶液の場合をそれぞれ加算した結果と一致するような傾向を示した。

模擬再処理廃液では  $\text{HNO}_3$  に対する HCOOH のモル比が 1.7 から 1.8 の間で Tc の沈殿率が急激に上昇し、HCOOH のモル比 1.8 で 98 %、2.0 でほぼ 100 % Tc が沈殿した。これを Rh, Pd, Mo, Zr 組合せ溶液と比較すると Rh, Pd, Mo, Zr 以外の他の金属イオンの影響により、Tc の沈殿率がわずかに上昇したものと考えられる。脱硝後の pH 値に対する Tc の沈殿率は pH 1.5 以下で 13 %程度であったが、pH 3.0 以上で 97 %以上の沈殿率を示した。

### 3.4 Rh, Pd および Mo, Zr イオン濃度の影響

脱硝操作によって Tc は白金族元素である Rh や Pd イオンと共に沈殿し、Mo, Zr イオンが共存すると Tc の沈殿率はさらに上昇する。ここでは Tc の沈殿率に及ぼす Rh, Pd や Mo, Zr イオンの濃度の影響について調べた。実験の結果を Fig. 5 に示す。横軸には対象とする金属イオンの濃

度を模擬再処理廃液中の当該金属イオンの濃度に対する比（濃度比）として示した。Rh, Pd, Mo, Zr 組合せ溶液における濃度比を 0 から 1.0 まで変化した場合、濃度比 0.2 で Tc は 70% 沈殿した。その後濃度比が増加するに従い Tc の沈殿率は徐々に上昇し 1.0 で 97% 沈殿した。

Rh, Pd イオンの濃度比を 1.0 とし Mo, Zr イオンの濃度比を 0 から 1.0 まで変化した場合、Mo, Zr イオンの濃度比 0 でも 88% 以上 Tc が沈殿する。その後 Mo, Zr イオンの濃度比を増加すると、徐々にではあるが Tc の沈殿率が上昇する。

Mo, Zr イオンの濃度比を 1.0 とし Rh, Pd イオンの濃度比を 0 から 1.0 まで変化した場合、Rh, Pd イオンの濃度比 0 でも Mo, Zr イオンの効果で 30% 程度 Tc が沈殿する。濃度比 0.2 に増加すると Tc の沈殿率は 85% に上昇した。ここで濃度比 0.2 における Rh, Pd イオンの全濃度は 5 mM である。

脱硝後の pH と Tc の沈殿率の関係を Fig. 5 に示す。pH 0.6 以下では沈殿率 30% 程度であるが、pH 1.1 以上で 85% 以上の高い沈殿率を示した。白金族元素が還元されると白金黒を生成し、これらの生成物が触媒として働き、TcO<sub>4</sub><sup>-</sup> イオンと HCOOH との還元反応を著しく進行させるものと考えられる。

### 3.5 白金族元素の種類および濃度の影響

白金族元素のうちいずれの元素が Tc の沈殿率を上昇させるのかを調べた。結果を Fig. 6 に示す。

Pd の方が Rh よりも Tc を沈殿させる効果が大きい。Ru については図中に示していないが沈殿率を上昇させる顕著な効果は認められなかった。Pd, Rh 共にその濃度が増加するに従い Tc の沈殿率は上昇した。Pd の場合、濃度が 5 mM で 80% の Tc が沈殿する。その後濃度を増加しても沈殿率は 10% 程度の上昇にとどまった。いずれにせよ溶液中に Pd が 5 mM 以上存在すれば脱硝操作によって、Tc の沈殿率が著しく上昇することが明らかとなった。

### 3.6 連続脱硝操作でのテクネチウムの挙動

脱硝操作を 2 回行い、ついで中和操作を行った時の Tc の沈殿率を調べた。結果を Table 3 に示す。

Mo, Zr の組合せ溶液では HNO<sub>3</sub> に対する HCOOH のモル比 1.5 (一次脱硝) で 20% の Tc が沈殿した。沈殿を分離した後の溶液に再び HNO<sub>3</sub> に対して HCOOH のモル比 2.0 (二次脱硝) となる様に HCOOH を添加し脱硝した結果、最初に添加した Tc の量の 14% が沈殿した。その後沈殿を分離し、溶液の pH を 5 以上とした結果、最初に添加した Tc の量の 4% 程度が沈殿した。すべての操作で Tc は 38% 沈殿した。

Mo, Zr, Rh, Pd の組合せ溶液では一次脱硝で 20%，二次脱硝では最初に添加した Tc の量の 72% が沈殿した。なお中和操作での沈殿率は極めて小さい。すべての操作で Tc は 92% 沈殿した。

模擬再処理廃液の場合、一次脱硝で 10% 2 次脱硝では最初に添加した Tc の量の 83% が沈殿した。中和操作での沈殿率は 6% 程度であるが、2 次脱硝後の Tc 濃度が極めて低いため最初に添加した

Tc の量に対して 0.5% 沈殿率を上昇させたにすぎない。すべての操作で 93% 沈殿した。

模擬再処理廃液を  $\text{HNO}_3$  に対する  $\text{HCOOH}$  のモル比 2.0 で脱硝すると Tc は 99.9% 以上沈殿した。しかし脱硝操作を 2 回連続して行った場合には 90% 程度の沈殿率しか得られなかった。このことは、白金族元素が沈殿する二次脱硝時において Tc の沈殿率をさらに上昇させる効果を持つ Mo, Zr がすでに一次脱硝時において沈殿として除かれていたことによると考えられる。

### 3.7 沈殿からのテクネチウムの回収

#### 3.7.1 溶出試薬の選定

各種試薬を用いて沈殿からの Tc の溶出率を調べた。

模擬再処理廃液 20 mL を  $\text{HCOOH}$  で脱硝すると約 3.05 g の沈殿が生成する。脱硝反応槽をそのまま溶出槽として使用する事を考慮に入れ、沈殿 1 g 当りの溶出液容量を 6.6 mL として実験した。結果を Table 4 に示す。

1M NaOH や  $\text{NH}_4\text{OH}$  についての溶出率は 10% 以下であった。気体である  $\text{O}_2$ ,  $\text{O}_3$  は被溶出液中に添加しやすく、また溶出液中の塩濃度が増加しない試薬として期待したが、Tc の溶出率は 35% 以下であった。

15.5%  $\text{H}_2\text{O}_2$  を用いた場合は 76%, 2M  $\text{HNO}_3$  では 90% と高い溶出率を得た。しかし溶出試薬に  $\text{HNO}_3$  を用いると溶出後液は白金族元素溶液特有の褐色を呈し、沈殿の主体である白金族元素をも溶解した。

#### 3.7.2 硝酸によるテクネチウムの溶出

Tc の溶出率におよぼす  $\text{HNO}_3$  の濃度の影響について調べた。結果を Fig. 7 に示す。

沈殿 1 g 当り 6.6 mL の  $\text{HNO}_3$  を添加し、一昼夜放置した結果を点線で示す。1M  $\text{HNO}_3$  の場合 Tc の溶出率は 30% であるが  $\text{HNO}_3$  の濃度が増加するに従い溶出率は上昇し、6M  $\text{HNO}_3$  で 97% の Tc が溶出した。2 時間加熱還流し、Tc を溶出した時の結果を実線で示す。1M  $\text{HNO}_3$  の場合、溶出率は 81% に上昇したが、2M  $\text{HNO}_3$  以上では一昼夜放置の溶出率と変わらなかった。

$\text{HNO}_3$  溶液に  $\text{H}_2\text{O}_2$  を 7.8% になる様添加し、一昼夜放置した時の Tc の溶出率は加熱還流した場合と同じ溶出率を示した。すなわち、 $\text{H}_2\text{O}_2$  を溶液中に存在させる事により、加熱還流と同じ効果を得る事ができた。

#### 3.7.3 過酸化水素水によるテクネチウムの溶出

沈殿重量に対して 15.5%  $\text{H}_2\text{O}_2$  の溶出液量を変化させた時の Tc の溶出率を Fig. 8 に示す。

沈殿重量当りの溶出液量が増加するに従い、Tc の溶出率は上昇し、約 30 mL/g 沈殿で 80% の溶出率を示した。なお  $\text{H}_2\text{O}_2$  はアルカリ性溶液中で強い酸化作用を示すことから被溶出液をあらかじめ 1M NaOH 溶液とした後、 $\text{H}_2\text{O}_2$  を添加して Tc の溶出を試みたがその効果はほとんど認められなかった。

$\text{H}_2\text{O}_2$  の濃度による影響を調べた結果を Fig. 9 に示す。

$\text{H}_2\text{O}_2$  の濃度が増加するにつれて溶出率は上昇し、15.5% で Tc の溶出率は 80% となった。その

後は  $H_2O_2$  の濃度を増加しても溶出率は上昇しない。

### 3.7.4 過酸化水素水による繰返し溶出

同一沈殿物に対して 15.5%  $H_2O_2$  で繰返し溶出した結果を Fig. 10 に示す。Tc の第 1 回目の溶出率は 63.5% であった。2 回目以降も第 1 回目と同じ溶出率を維持すると仮定して求めた積算溶出率を一点鎖線で示す。この場合 4 回の溶出操作を繰返す事によって 98% 以上の Tc を溶出できることになる。しかし実験で求めた 2 回目以降の溶出率は図中の点線で示すように毎回減少し、4 回目の操作では約 18% に低下した。実際に同一操作を繰返した時の積算溶出率を実線で示す。溶出回数の増加とともに積算溶出率は上昇するが 4 回の溶出操作で Tc の溶出率はほぼ一定となり、92% にとどまった。しかしこれらの試験条件は沈殿重量当りの溶出液量 6.6 mL ならびに一昼夜放置の結果である。溶出操作に加熱還流を加える、あるいは沈殿重量当りの溶出液量を増加する等の改良を加える事によって 1 回当たりの溶出率を 80% 以上に上昇できる事から、3 回程度の溶出操作で 99% 以上の Tc を水相に溶出できるものと考える。

### 3.7.5 溶出液中の白金族元素量

$H_2O_2$  を溶出試薬として用いた時の溶出液中の白金族元素量は Rh について模擬再処理廃液濃度の 0.01% 以下、すなわち溶出液中の Rh 濃度は 0.1 ppm 以下であった。なお Pd については検出限界以下であった。その他の元素については炎光スペクトルにおいて微量の Sr が検出されたにすぎなかった。これらの結果から、 $H_2O_2$  を Tc の溶出試薬として用いれば、Tc を水溶液として単離できることが明らかとなった。

## 4. 結 論

群分離プロセスでの挙動試験の結果、Tc は TBP や DIDPA による抽出工程で抽出されず、HCOOH による脱硝工程で他の金属イオンと沈殿する。特に廃液中に白金族元素が含まれると Tc の沈殿率は著しく上昇する。白金族元素を 5 mM 以上含む再処理高レベル廃液に、 $HNO_3$  に対してモル比 1.8 以上の HCOOH を添加して脱硝すれば、98% 以上の Tc を沈殿として回収できる。

脱硝操作で沈殿した Tc は  $H_2O_2$  を用いて 95% 以上水溶液として単離できる。

このプロセスを群分離フローの無機イオン交換体による  $^{90}Sr$ ,  $^{137}Cs$  の吸着分離の前に組入れることによって、現在の群分離プロセスを大きく変更せずに Tc を回収できる見通しを得た。

後は $H_2O_2$ の濃度を増加しても溶出率は上昇しない。

### 3.7.4 過酸化水素水による繰返し溶出

同一沈殿物に対して 15.5%  $H_2O_2$ で繰返し溶出した結果を Fig. 10 に示す。Tc の第 1 回目の溶出率は 63.5% であった。2 回目以降も第 1 回目と同じ溶出率を維持すると仮定して求めた積算溶出率を一点鎖線で示す。この場合 4 回の溶出操作を繰返す事によって 98% 以上の Tc を溶出できることになる。しかし実験で求めた 2 回目以降の溶出率は図中の点線で示すように毎回減少し、4 回目の操作では約 18% に低下した。実際に同一操作を繰返した時の積算溶出率を実線で示す。溶出回数の増加とともに積算溶出率は上昇するが 4 回の溶出操作で Tc の溶出率はほぼ一定となり、92% にとどまった。しかしこれらの試験条件は沈殿重量当りの溶出液量 6.6 mL ならびに一昼夜放置の結果である。溶出操作に加熱還流を加える、あるいは沈殿重量当りの溶出液量を増加する等の改良を加える事によって 1 回当たりの溶出率を 80% 以上に上昇できる事から、3 回程度の溶出操作で 99% 以上の Tc を水相に溶出できるものと考える。

### 3.7.5 溶出液中の白金族元素量

$H_2O_2$ を溶出試薬として用いた時の溶出液中の白金族元素量は Rh について模擬再処理廃液濃度の 0.01% 以下、すなわち溶出液中の Rh 濃度は 0.1 ppm 以下であった。なお Pd については検出限界以下であった。その他の元素については炎光スペクトルにおいて微量の Sr が検出されたにすぎなかった。これらの結果から、 $H_2O_2$ を Tc の溶出試薬として用いれば、Tc を水溶液として単離できることが明らかとなった。

## 4. 結論

群分離プロセスでの挙動試験の結果、Tc は TBP や DILDPA による抽出工程で抽出されず、HCOOH による脱硝工程で他の金属イオンと沈殿する。特に廃液中に白金族元素が含まれると Tc の沈殿率は著しく上昇する。白金族元素を 5 mM 以上含む再処理高レベル廃液に、 $HNO_3$  に対してモル比 1.8 以上の HCOOH を添加して脱硝すれば、98% 以上の Tc を沈殿として回収できる。

脱硝操作で沈殿した Tc は  $H_2O_2$  を用いて 95% 以上水溶液として単離できる。

このプロセスを群分離フローの無機イオン交換体による  $^{90}Sr$ ,  $^{137}Cs$  の吸着分離の前に組入れることによって、現在の群分離プロセスを大きく変更せずに Tc を回収できる見通しを得た。

## 参 考 文 献

- 1) M. Kubota, H. Nakamura, S. Tachimori, T. Abe, H. Amano : " Removal of Transplutonium Elements from High-level Waste ", IAEA-SM-246/24 ( 1981 ).
- 2) 久保田益充, 山口五十夫, 岡田賢造, 森田泰治, 中村治人:群分離法の開発－動燃再処理廃液による群分離試験－その1”, JAERI-M 83-011 ( 1983 ).
- 3) 山口五十夫, 久保田益充, 岡田賢造, 森田泰治, 中村治人:群分離法の開発－動燃再処理廃液による群分離試験－その2”, JAERI-M 84-070 ( 1984 ).
- 4) 久保田益充, 中村治人:高レベル廃液群分離技術の研究開発の成果と将来計画,” JAERI-M 85-066 ( 1985 ).
- 5) 森 良平, 山口五十夫, 久保田益充:群分離法の開発－チタン酸, ゼオライト混合交換体カラムのSr, Csイオンに対する動的吸着特性,” JAERI-M 86-013 ( 1986 ).
- 6) M. Benedict, T. H. Pigford, H. W. Levi : " Nuclear chemical engineering Second edition ", McGraw-Hill, ( 1981 ).

Table 1 Composition of the high-level liquid wastes

Chemical constituent or Fission produced elements	Composition (M)	
	Waste from PNC*	Synthetic waste
H <sup>+</sup>	2.0	2.0
Fe	0.038	0.038
Cr	0.0091	0.0091
Ni	0.0060	0.0060
Al	0.00076	--
Na	0.076	0.076
U	0.0076	--
NO <sub>3</sub> <sup>-</sup>	2.28	2.28
PO <sub>4</sub> <sup>3-</sup>	0.0023	--
SiO <sub>3</sub> <sup>2-</sup>	0.0076	--
<hr/>		
Mo	0.069	0.069
Tc	0.015	--
Sr	0.0165	0.0165
Ba	0.0207	0.0207
Cs	0.0371	0.0371
Rb	0.0074	0.0074
Y+RE	0.127	0.127
Zr	0.069	0.069
Ru	0.034	--
Rh	0.0080	0.0080
Pd	0.018	0.018
Ag	0.00085	0.00085
Cd	0.00085	0.00085
Te	0.0068	0.0068

\* Power Reactor and Nuclear Fuel Development Corporation

Table 2 Percentage of Tc precipitated by neutralization and denitration

Sample	Percentage of Tc precipitated (%)		
	Neutralization		Denitration
	(pH 5)	[HCOOH]/[HNO <sub>3</sub> ] ratio	
Simplified synthetic waste	12	6	9
Synthetic waste	10	10	>99.9

Table 3 Percentage of Tc precipitated by sequential denitrations and neutralization

Added elements or sample	Percentage of Tc precipitated (%)			
	1st denitration	2nd denitration	Neutralization	Total
Mo,Zr	20	14	4	38
Mo,Zr,Rh,Pd	20	72	<0.01	92
Synthetic waste	10	83	0.5	93

Table 4 Dissolution of precipitated Tc with various reagents

Reagent	Condition	Dissolution ratio (%)
O <sub>2</sub>		23
O <sub>3</sub>	Heated under reflux	34
H <sub>2</sub> O <sub>2</sub>	for 2 hr.	76
HNO <sub>3</sub>		90
<hr/>		
NaOH	Standing overnight	6
NH <sub>4</sub> OH	at room temperature	7

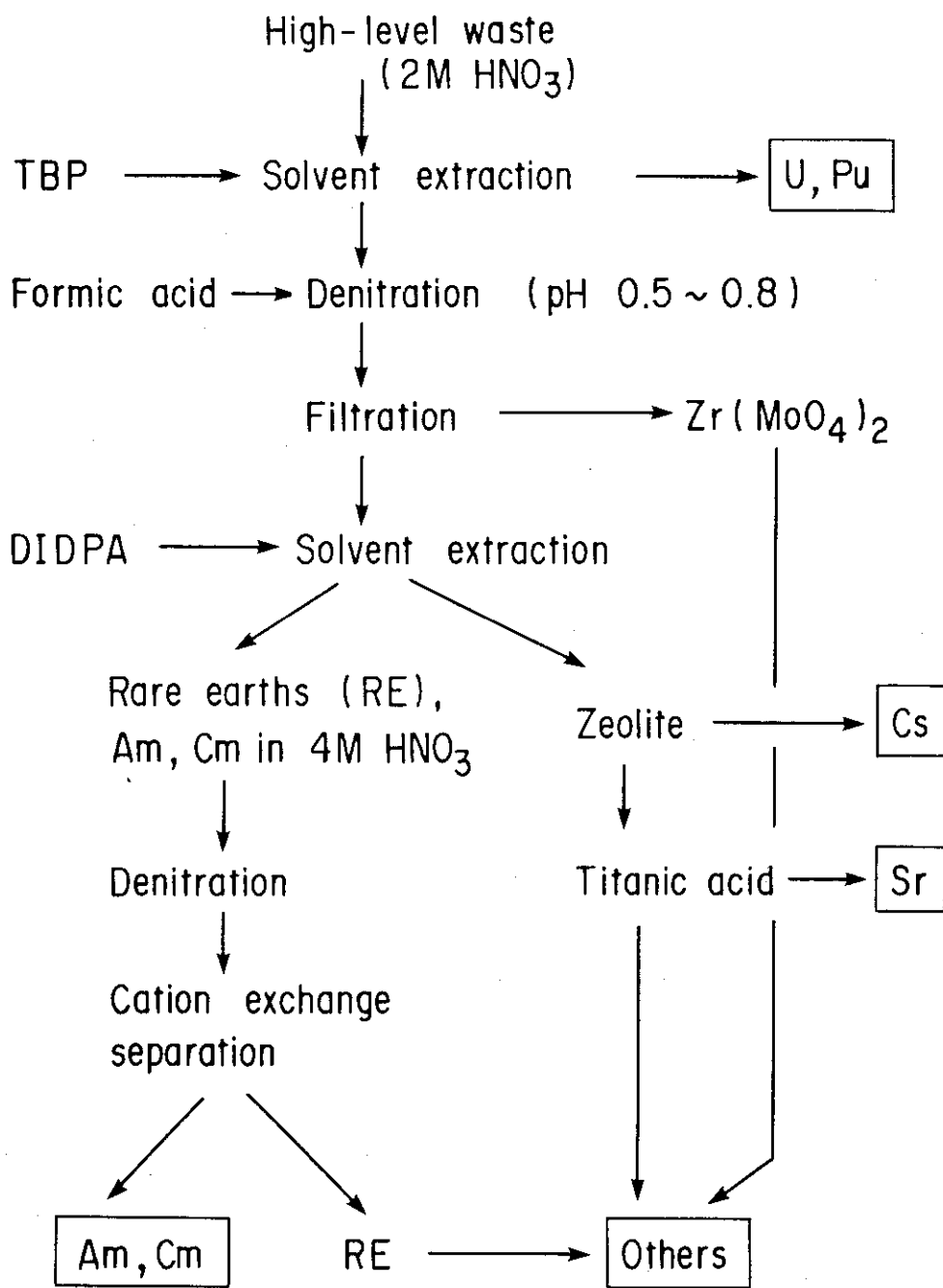


Fig. 1 Flow-sheet for the partitioning of high-level waste

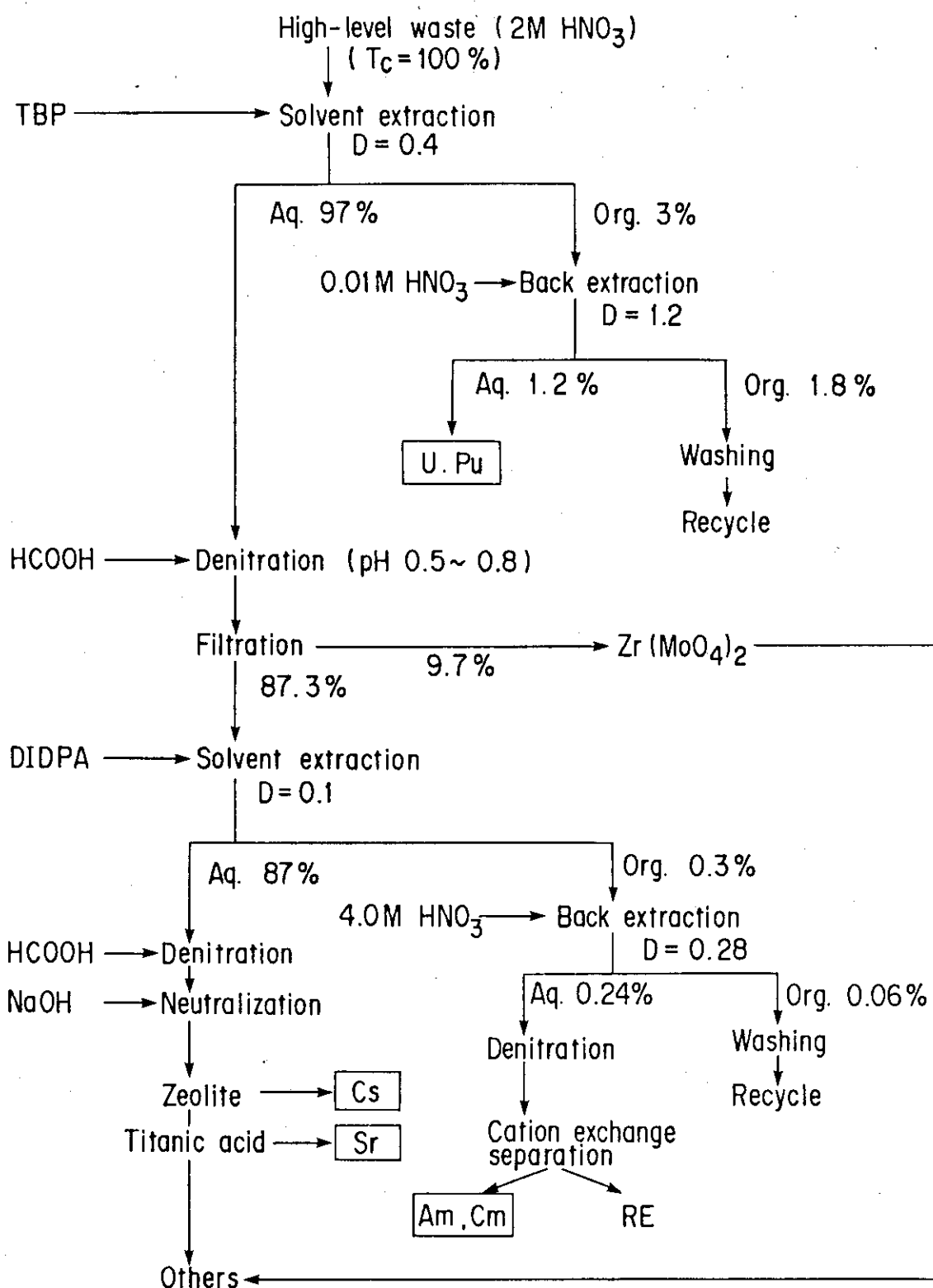


Fig. 2 Behavior of Tc in the partitioning process

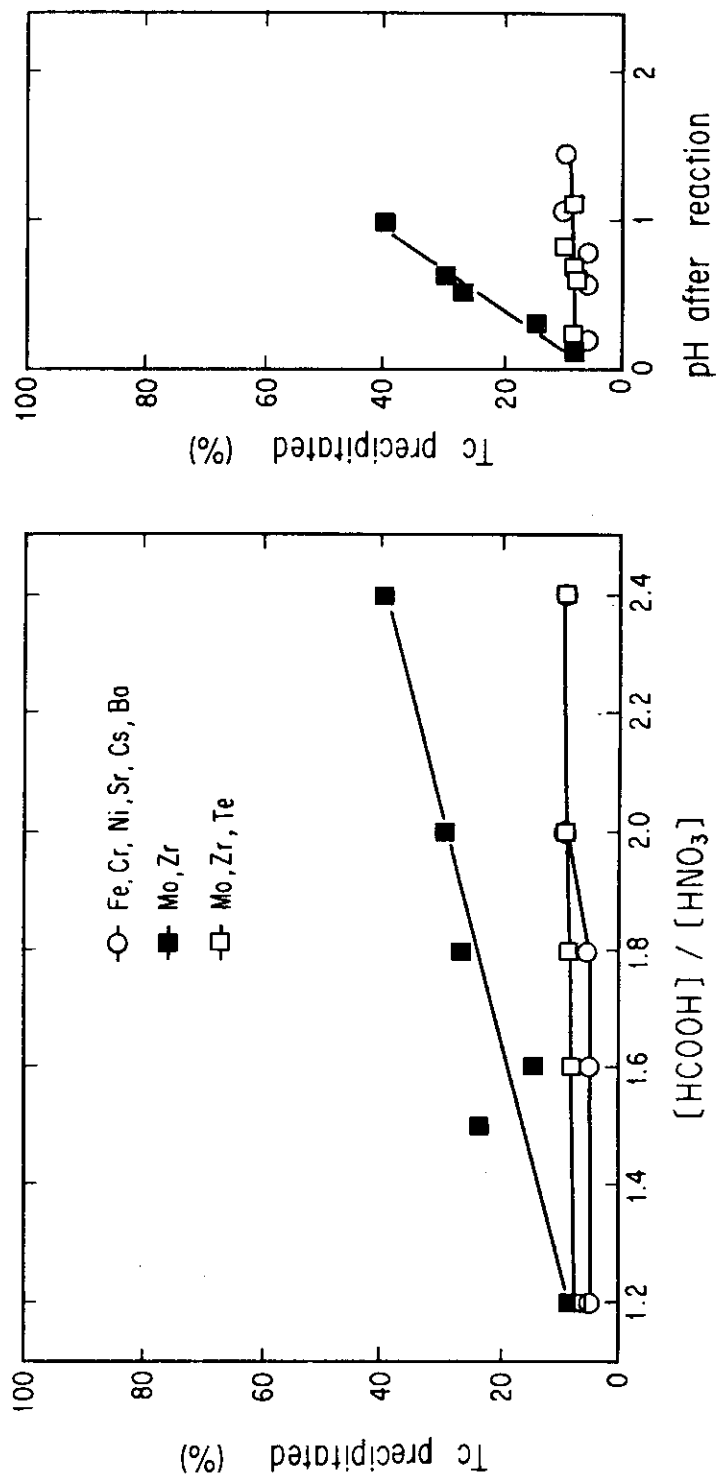


Fig. 3 Effect of  $[HCOOH] / [HNO_3]$  ratio on precipitation of Tc by denitrations of various synthetic wastes excluding platinum group elements

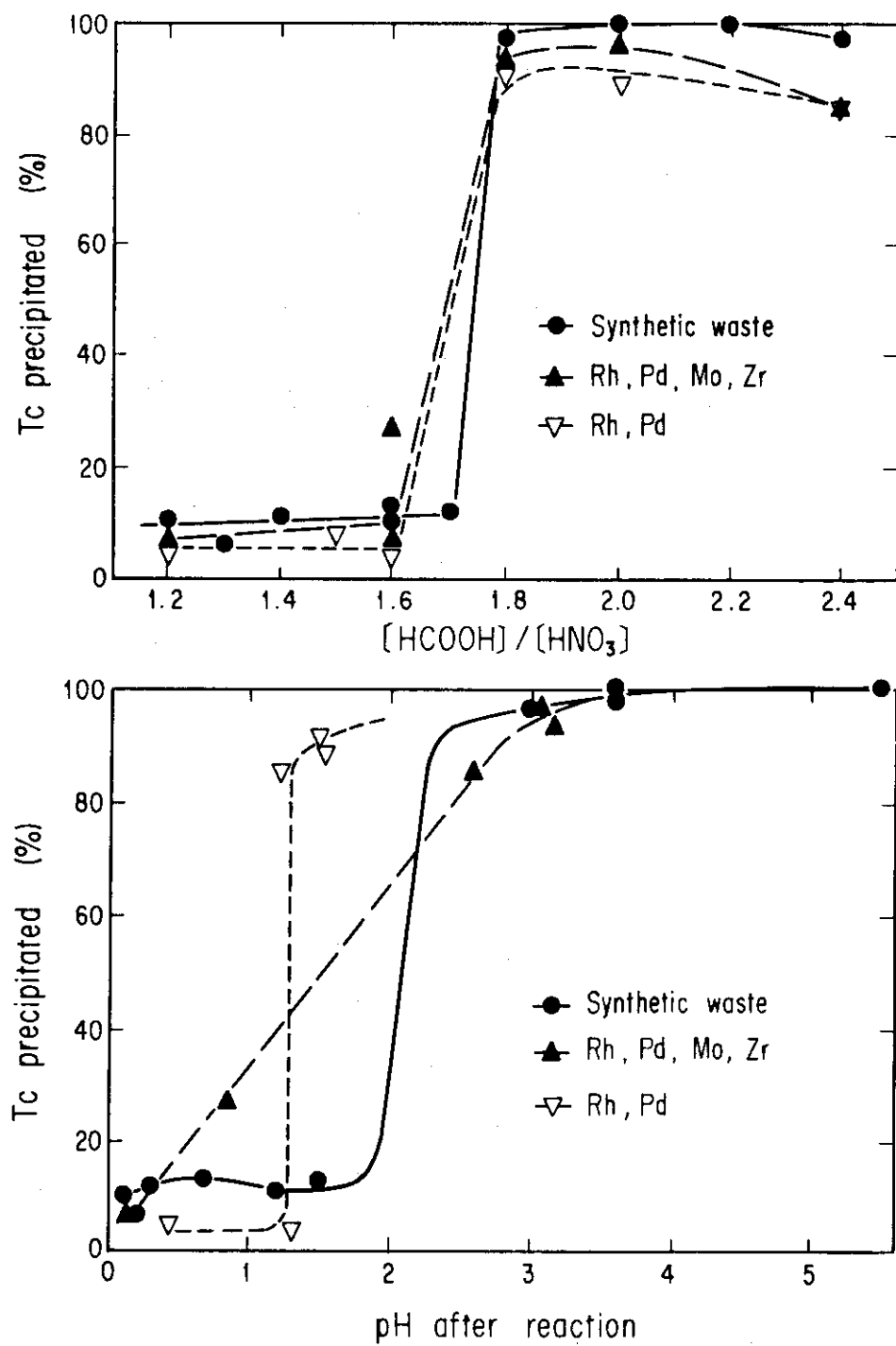
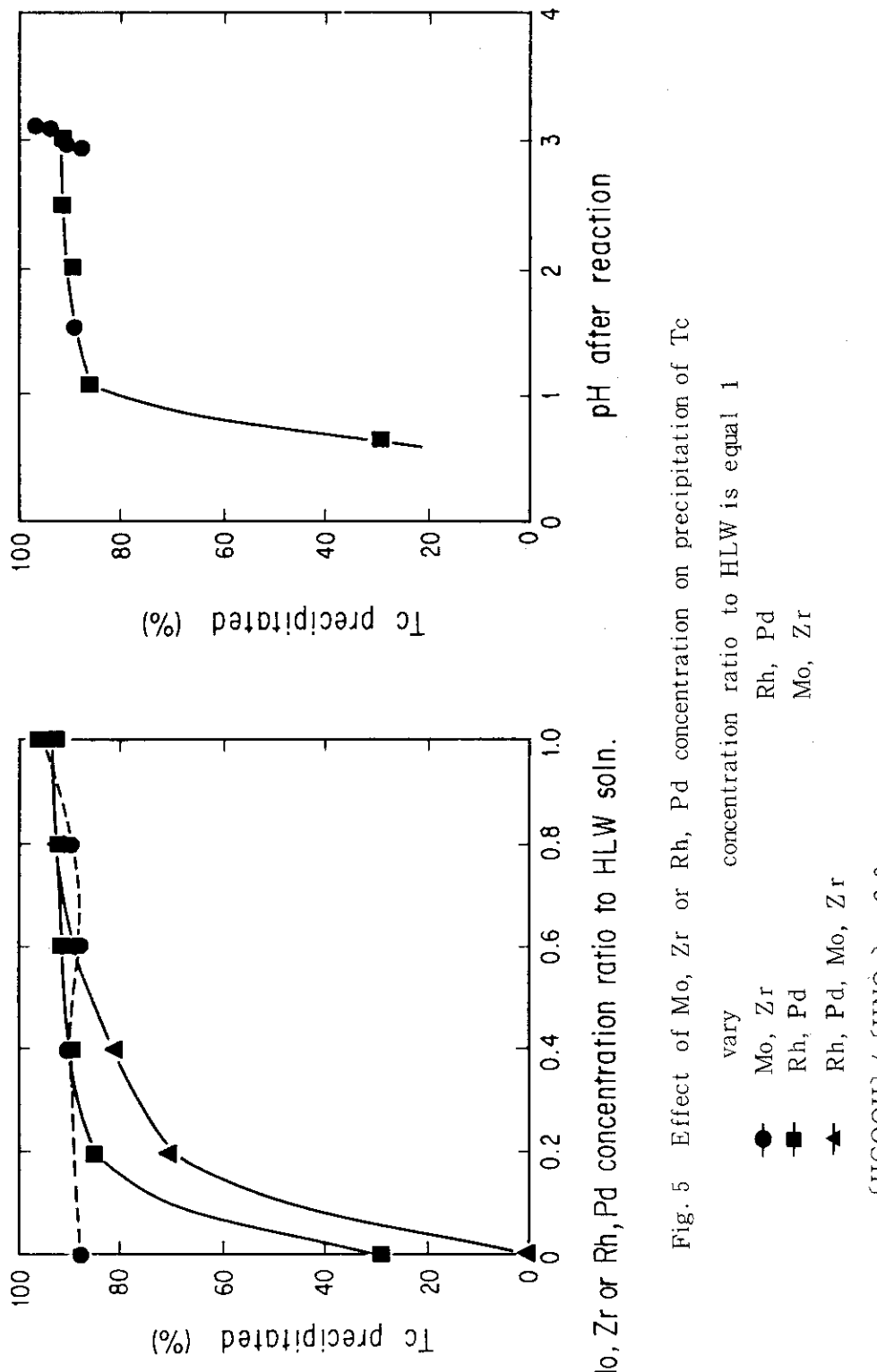


Fig. 4 Effect of  $[HCOOH] / [HNO_3]$  ratio on precipitation of Tc by denitrations of various synthetic wastes containing platinum group elements



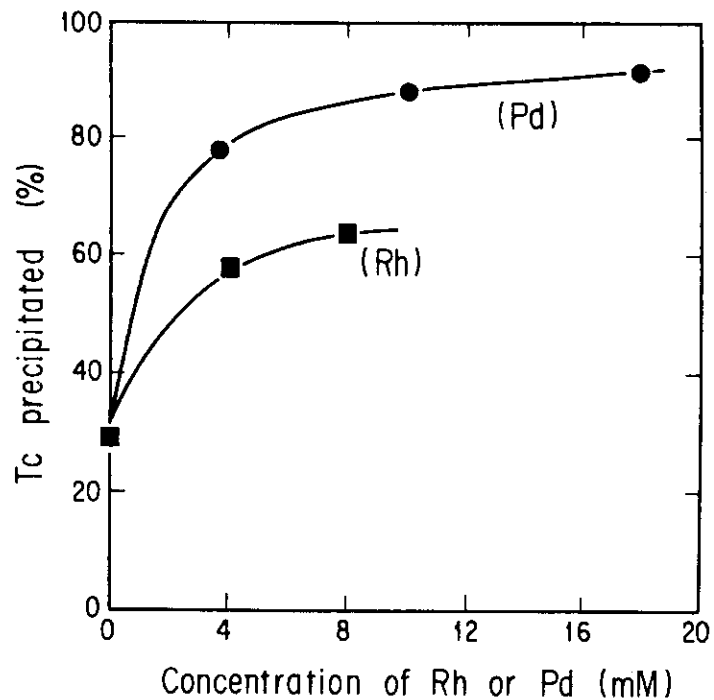


Fig. 6 Effect of Rh or Pd concentration on precipitation of Tc  
containing Mo-Zr  $[\text{HCOOH}] / [\text{HNO}_3] = 2.0$

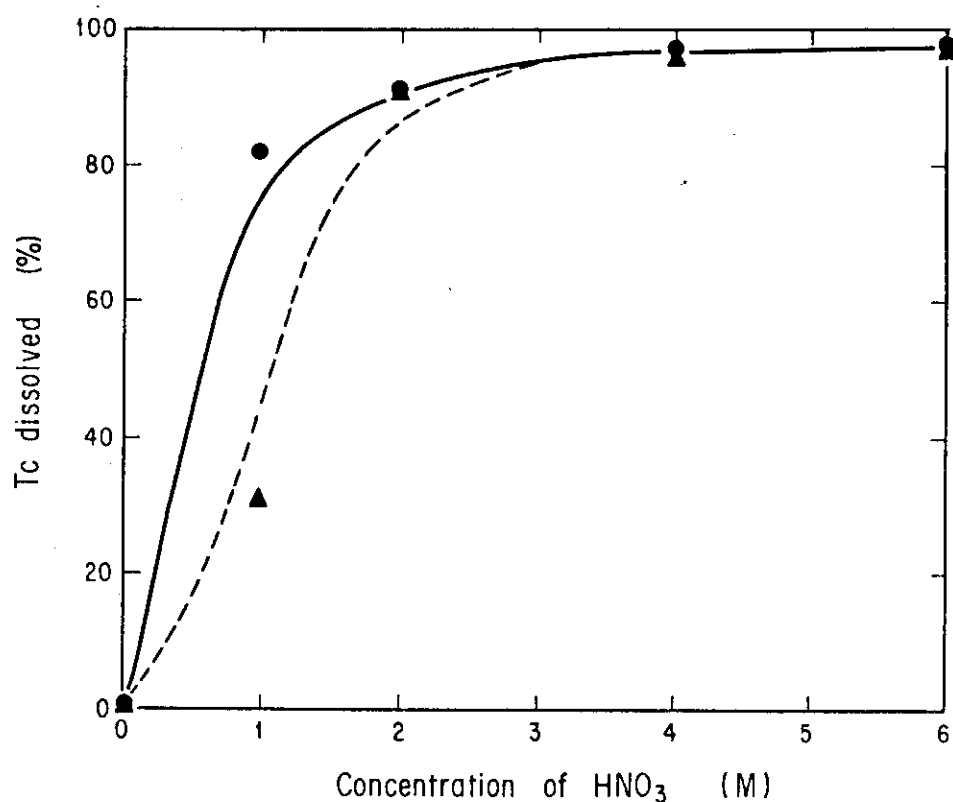


Fig. 7 Effect of  $\text{HNO}_3$  concentration on dissolving of Tc  
 ● heated under reflux    ▲ standing overnight  
 solution volume/ sludge weight = 6.6 ml/g

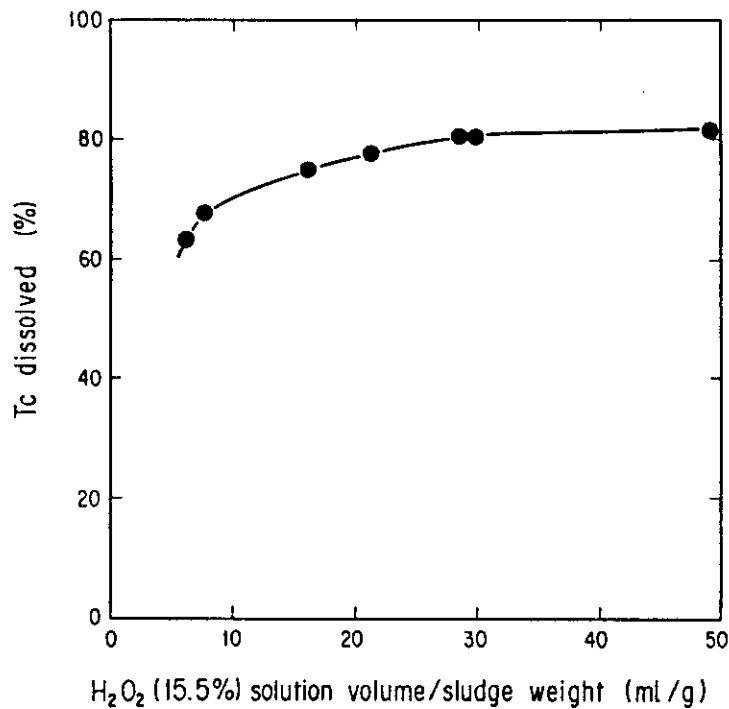


Fig. 8 Effect of 15.5 %  $\text{H}_2\text{O}_2$  solution volume/sludge weight ratio on dissolving of Tc

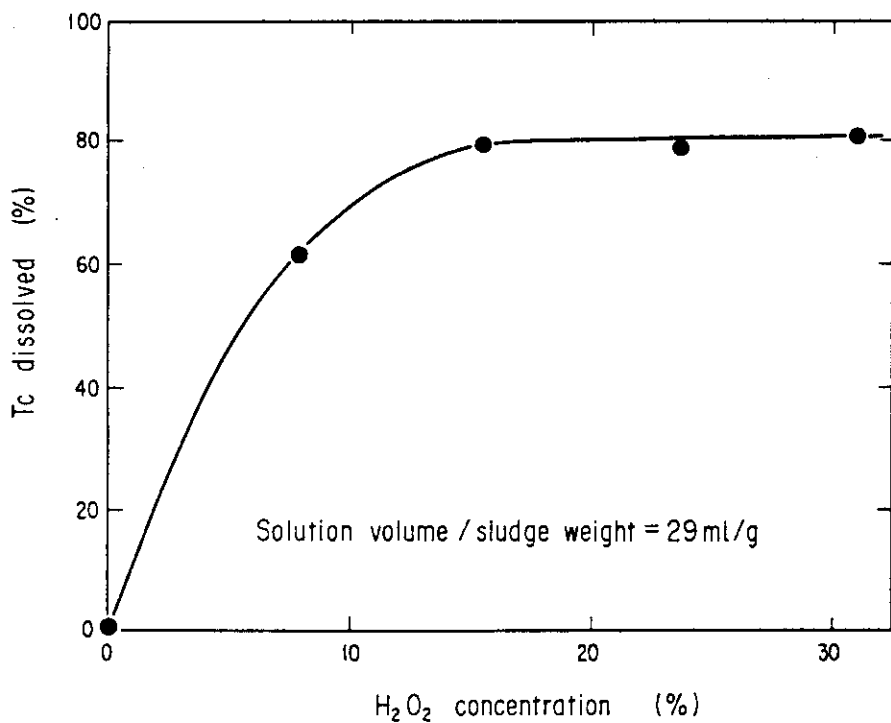


Fig. 9 Effect of  $\text{H}_2\text{O}_2$  concentration on dissolving of Tc

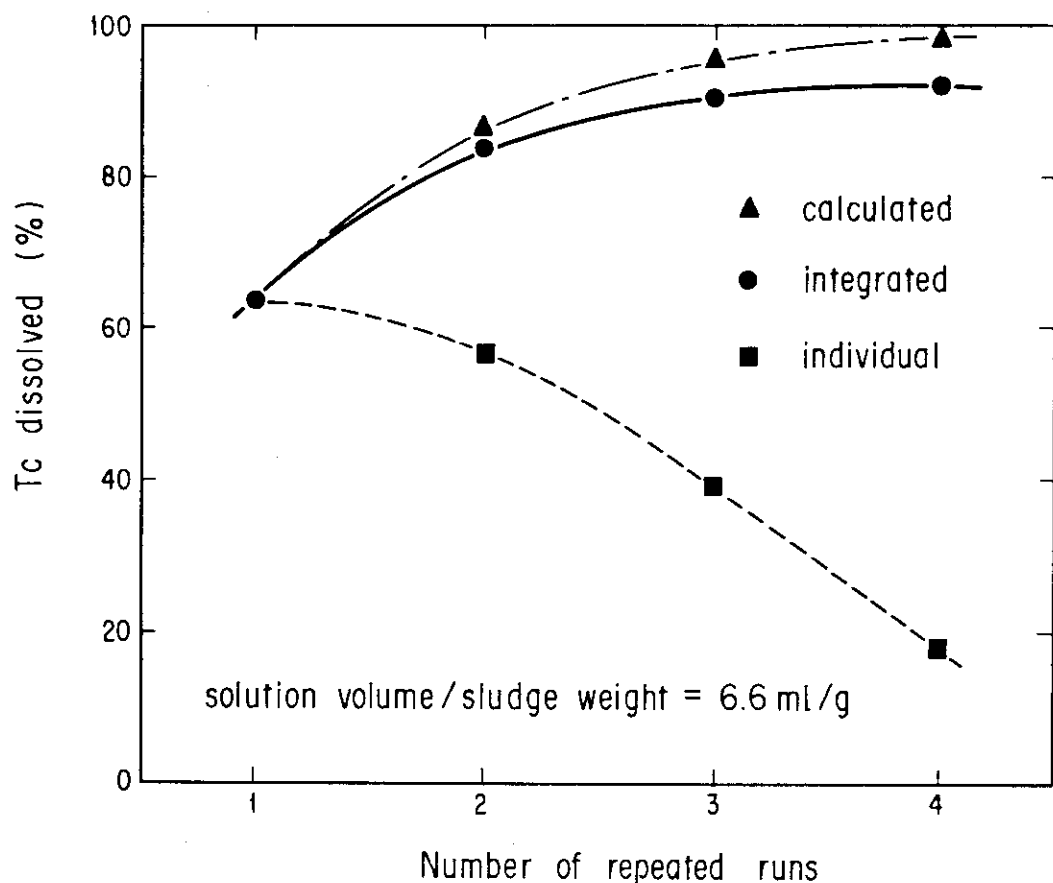


Fig. 10 Dissolving of Tc by repeated runs  
with 15.5 % H<sub>2</sub>O<sub>2</sub> solution